

Rapport TP

LOCALISATION ET CARTOGRAPHIE SIMULTANÉES EN ROBOTIQUE (SLAM)

S9 -2017

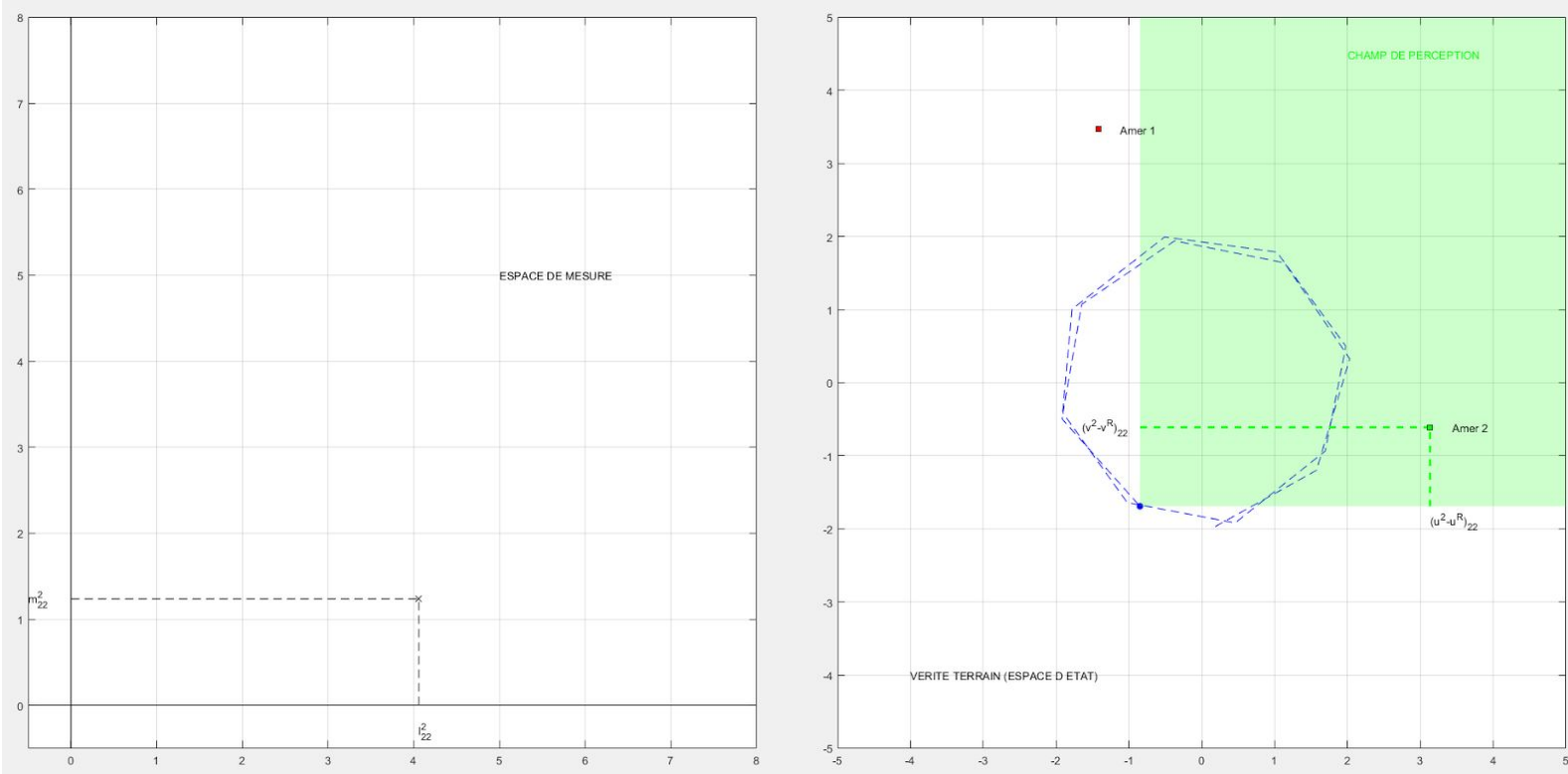
Yoann Fleytoux
Aurélien Bernier

Sommaire

Sommaire	1
Simulation – Ecriture du modèle	2
1. Exécuter un “run” de la fonction simulationDonnees .	2
(a) Expliquer les informations fournies par l’animation graphique.	2
(b) Expliquer le contenu des variables T , Z , X .	2
(c) Donner un sens physique à $mX0$, $P0$, Qw , Rv .	3
2. Etablir l’expression de	3
(a) la distribution initiale $p(x_0)$;	3
(b) la loi de dynamique a priori $p(x_k x_{k-1})$;	3
(c) le modèle d’observation $p(z_k x_k)$ (selon la visibilité des amers).	3
Implémentation d’un filtre particulaire SIS	4
3. Ecrire l’algorithme du filtre particulaire “Sequential Importance Sampling” (SIS) pour le problème considéré.	4
4. Procéder à son implémentation pour l’initialisation ainsi que les modèles de bruits identiques à ceux exploités dans simulationDonnees.	5
(a) Comment sélectionner le nombre de particules ? Plusieurs choix pourront être testés.	5
(b) Comment définir la fonction d’importance ? Plusieurs choix pourront être testés.	5
(c) Quelles difficultés observe-t-on ? Comment les résoudre ?	5
5. Exécuter le filtre sur la base d’une réalisation du processus de mesure.	5
(a) Dédire les estimés des moyennes et covariances a posteriori \hat{x}_k et P_k du vecteur d’état x_k , conditionnellement à $z_{1:k} = z_1:k$. Observer l’évolution de ces quantités.	5
(b)	6
(c) Vérifier la dégénérescence du nuage par calcul de la taille efficace du N-échantillon.	6
Implémentation d’un filtre particulaire SIR	7
6. Compléter l’algorithme précédent par une étape de rééchantillonnage du nuage, lorsque le nombre de particules efficaces se situe en deçà d’un certain seuil à définir, de façon à obtenir un algorithme de “Sampling Importance Resampling” (SIR).	7
7. Tester ce nouvel algorithme.	7
8. Conclure sur l’adéquation / la non-adéquation du filtrage particulaire pour le problème considéré.	8
Code:	10
SimulationDonnees.m	10
SIS.m	14
SIR_v1.m	17

Simulation – Ecriture du modèle

1. Exécuter un “run” de la fonction simulationDonnees .



(a) Expliquer les informations fournies par l'animation graphique.

La fonction simulationDonnees affiche deux animations de graphes:

- L'évolution de la position du robot, son champ de perception, et la position des deux amers dans le repère monde.
- L'espace de mesure, c'est à dire, les différentes mesures observés par le robot ($m_{1,k}$; $m_{2,k}$; $l_{1,k}$; $l_{2,k}$), càd, les distance en x et y entre les amers et le robot.

(b) Expliquer le contenu des variables T , Z , X .

“ T : vecteur des instants d'échantillonnage ($1 \times N$) ” : vecteur d'entier allant de 0 à $N \cdot \Delta T$ par saut de ΔT (ici 1).

“ Z : réalisation du processus aléatoire de mesure ($4 \times N$, éventuellement avec composantes de type NaN) ” : vecteur contenant les observations (mesures) à chaque instant t ; contient donc les distances ($m_{1,k}$; $m_{2,k}$; $l_{1,k}$; $l_{2,k}$), si l'amer n'est pas dans le champ de perception, les mesure sont mises à NaN.

“X : réalisation du processus aléatoire d'état (6xN)” : vecteur contenant la position du robot et des amers à chaque instants t ;

X=[position en x du robot dans le repère monde;

position en y du robot dans le repère monde;

Position en x de l'amer 1 dans le repère du robot;

Position en y de l'amer 1 dans le repère du robot;

Position en x de l'amer 2 dans le repère du robot;

Position en y de l'amer 2 dans le repère du robot]

(c) Donner un sens physique à mX_0 , P_0 , Q_w , R_v .

“ mX_0 : espérance du vecteur d'état à l'instant 0 (6x1)”

“ PX_0 : covariance du vecteur d' état `a l'instant 0 (6x6)”

Permettent de générer la position du robot à l'instant t_0 .

“ Q_w : covariance du bruit de dynamique (supposé stationnaire) (6x6)” : représente le bruit sur les déplacement du robot et des amers (très faible dans le cas des amers).

“ R_v : covariance du bruit de mesure (supposé stationnaire) (4x4)” : représente le bruit sur les mesures des capteurs.

2. Etablir l'expression de

(a) la distribution initiale $p(x_0)$;

$p(x_0) \sim N(x_0; mX_0, P_0)$

$p(x_0) = 1/((2\pi)^N * |P_0|) * \exp(-1/2*(x_0 - mX_0)^T * P_0^{-1} * (x_0 - mX_0))$

(b) la loi de dynamique a priori $p(x_k | x_{k-1})$;

$p(x_k | x_{k-1}) \sim N(x_k; F*x_{k-1}, Q_{k-1})$

F la matrice du modèle liée à l'évolution de la dynamique du vecteur d'état.

(c) le modèle d'observation $p(z_k | x_k)$ (selon la visibilité des amers).

$p(z_k | x_k) \sim N(z_k; H*x_k, R_k)$

H est la matrice du modèle liée à la mesure.

Implémentation d'un filtre particulaire SIS

3. Ecrire l'algorithme du filtre particulaire "Sequential Importance Sampling" (SIS) pour le problème considéré.

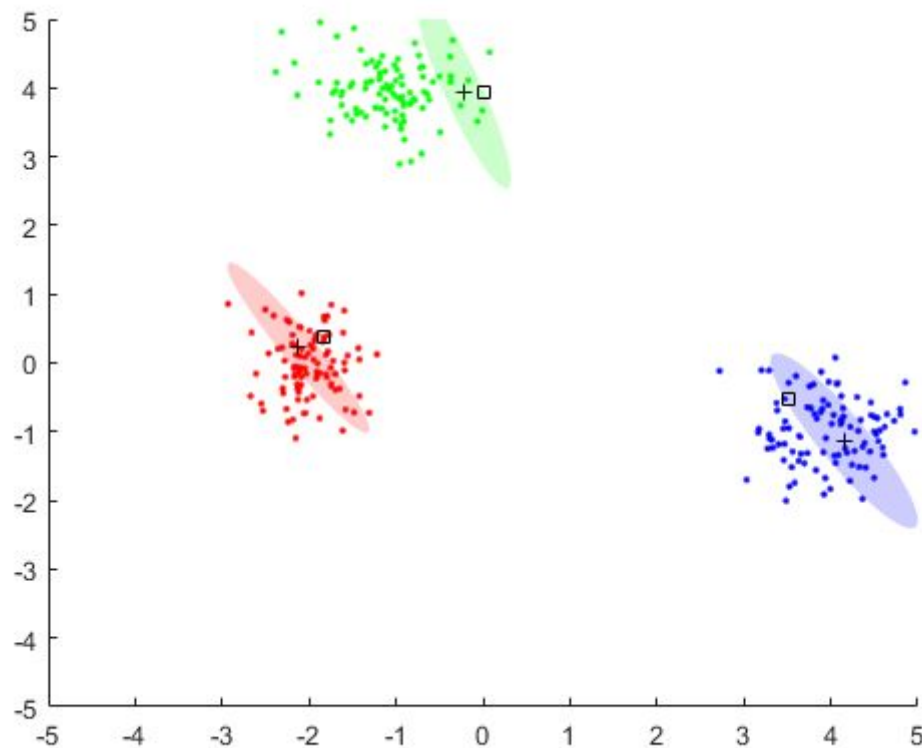


Figure 1: affichage du SIS

En rouge ce qui se rapporte au robot, en vert à l'amer 1 et en bleue à l'amer 2

Affichage des estimates des moyennes a posteriori (+ noirs)

Affichage des des ellipses de confiance (fonction de l'espérance et de la covariance)

Affichage du vecteur d'état réel (carrés noirs)

4. Procéder à son implémentation pour l'initialisation ainsi que les modèles de bruits identiques à ceux exploités dans simulationDonnees.

(a) Comment sélectionner le nombre de particules ? Plusieurs choix pourront être testés.

Le nombre de particules choisies influencera le temps de calcul nécessaire et la capacité du filtrage particulaire à converger. Plus le nombre de particules est grand, plus les calculs sont longs, mais plus on convergera vite.

(b) Comment définir la fonction d'importance ? Plusieurs choix pourront être testés.

On choisit la loi de dynamique à priori.

(c) Quelles difficultés observe-t-on ? Comment les résoudre ?

Au bout d'un certain nombre d'itérations, on rencontre un problème de dégénération (une particule avec un poids proche de 1, et le reste des particules avec un poids proche de zéro) qui sera réglé à l'implémentation du filtre particulaire SIR. On résoudra ce problème à l'aide d'un rééchantillonnage.

5. Exécuter le filtre sur la base d'une réalisation du processus de mesure.

(a) Déduire les estimés des moyennes et covariances a posteriori $\hat{x}_{k|k}$ et $P_{k|k}$ du vecteur d'état x_k , conditionnellement à $z_{1:k} = z_{1:k}$. Observer l'évolution de ces quantités.

%Calcul de la moyenne a posteriori

esperance = zeros(6, 1);

for i = 1 : nbParticules

 esperance = esperance + wPoids(i)*ParticulesNew(:,i);

End

%Calcul de la covariance a posteriori

covariance = zeros(6,6);

```

for i = 1 : nbParticules
    covariance = covariance +
        wPoids(i)*(ParticulesNew(:,i)-esperance)*(ParticulesNew(:,i)-esperance)';
End

```

(b)

Voir la Figure 1: affichage du SIS

(c) Vérifier la dégénérescence du nuage par calcul de la taille efficace du N-échantillon.

```

seuil = nbParticules/3;

%Reechantillonnage pour eviter la dégénérescence
Neff = 1/sum(wPoids.^2);
if Neff<seuil
    'Resample'
    [ParticulesNew,wPoids] = Resample(nbParticules, ParticulesNew, wPoids);
End

```

Implémentation d'un filtre particulaire SIR

6. Compléter l'algorithme précédent par une étape de rééchantillonnage du nuage, lorsque le nombre de particules efficaces se situe en deçà d'un certain seuil à définir, de façon à obtenir un algorithme de "Sampling Importance Resampling" (SIR).

7. Tester ce nouvel algorithme.

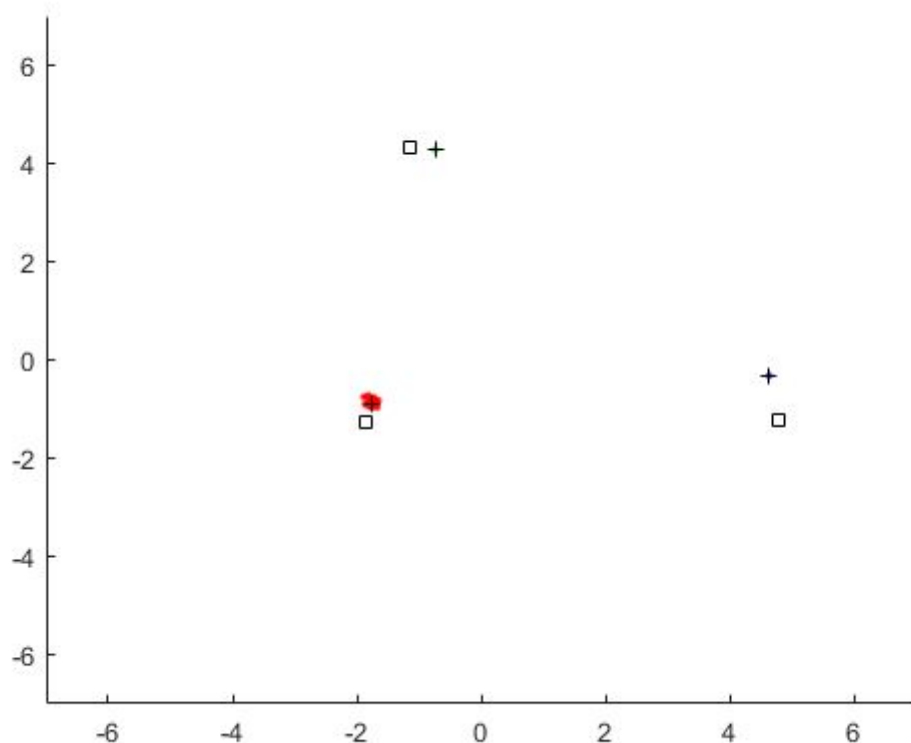


Figure 2: affichage du SIR

En rouge ce qui se rapporte au robot, en vert à l'amer 1 et en bleue à l'amer 2

Affichage des estimates des moyennes a posteriori (+ noirs)

Affichage des des ellipses de confiances (fonction de l'espérance et de la covariance)

Affichage du vecteur d'état réel (carrés noirs)

8. Conclure sur l'adéquation / la non-adéquation du filtrage particulière pour le problème considéré.

On rééchantillonne très souvent ce qui laisse à penser que la fonction d'importance n'est pas adéquate. L'estimé du vecteur d'état ne converge pas vers leurs valeurs réels (ce qui peut notamment être dû au manque de dynamisme au niveau des amers). On en conclut qu'à moins de trouver une meilleur fonction d'importance, le filtrage particulière n'est pas approprié au problème considéré.

Note: en introduisant du dynamisme au niveau des amers :

"Qw : covariance du bruit de dynamique (supposé stationnaire) (6x6)" :

Qw =

0.0025	0	0	0	0	0
0	0.0025	0	0	0	0
0	0	0.0000	0	0	0
0	0	0	0.0000	0	0
0	0	0	0	0.0000	0
0	0	0	0	0	0.0000

en :

Qw =

0.0025	0	0	0	0	0
0	0.0025	0	0	0	0
0	0	0.0025	0	0	0
0	0	0	0.0025	0	0
0	0	0	0	0.0025	0
0	0	0	0	0	0.0025

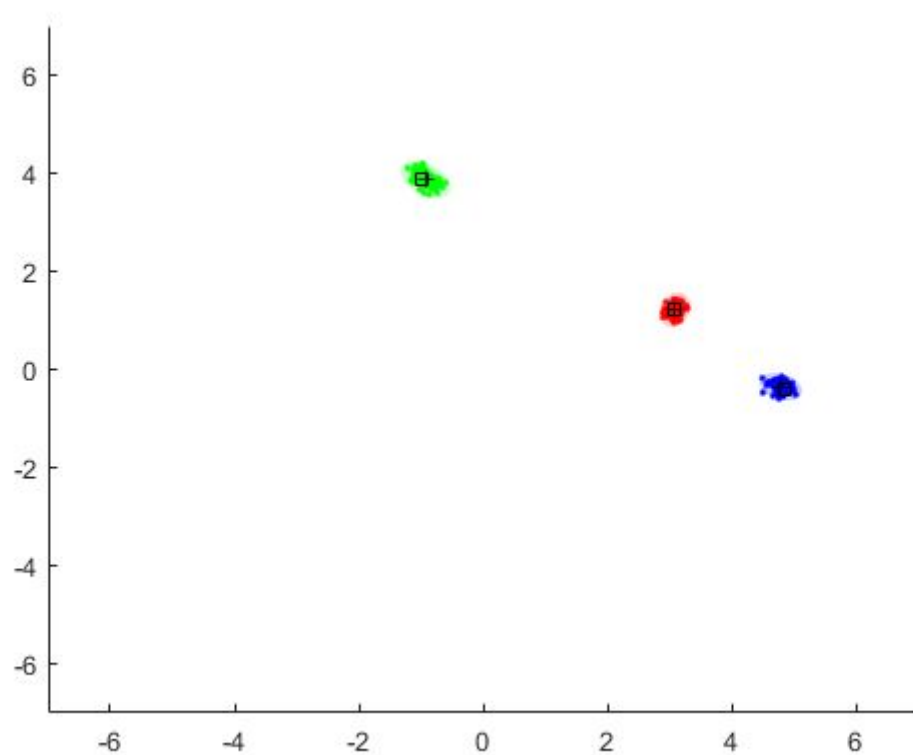


Figure 3: affichage du SIR avec dynamisme amers au bout de 50 itérations

En rouge ce qui se rapporte au robot, en vert à l'amer 1 et en bleue à l'amer 2

Affichage des estimates des moyennes a posteriori (+ noirs)

Affichage des des ellipses de confiances (fonction de l'espérance et de la covariance)

Affichage du vecteur d'état réel (carrés noirs)

On observe que l'estimé du vecteur d'état converge vers leurs valeurs réels.

Code:

SimulationDonnees.m

```
function [N,T,Z,F,Hfull,mX0,PX0,Qw,Rv,X] = simulationDonnees(plot_p);
%SIMULATIONDONNEES
% Simulation d'une expérience : déplacement du robot, recueil des mesures, etc.
% Syntaxe d'appel : [N,T,Z,F,Hfull,mX0,PX0,Qw,Rv,X] = simulationDonnees(plot_p);
%
% Entrée :
% . plot_p : si égal à 1, produit un affichage animé, sinon n'affiche rien
%
% Sorties :
% . N : nombre d'échantillons temporels
% . T : vecteur des instants d'échantillonnage (1xN)
% . Z : réalisation du processus aléatoire de mesure (4xN, éventuellement avec
composantes de type NaN)
% -> et comme ceci est de la simulation, sont également accessibles
% . F, Hfull : matrices du modèle (respectivement (6x6), (4x6))
% . mX0 : espérance du vecteur d'état à l'instant 0 (6x1)
% . PX0 : covariance du vecteur d'état à l'instant 0 (6x6)
% . Qw : covariance du bruit de dynamique (supposé stationnaire) (6x6)
% . Rv : covariance du bruit de mesure (supposé stationnaire) (4x4)
% . X : réalisation du processus aléatoire d'état (6xN)
%
% Z et X admettent AUTANT DE COLONNES QUE D'INSTANTS

N = 50;
deltaT = 1;
T = [0:N-1]*deltaT;
w=pi/4;

mX0 = [2;0;-1;4;4;-1];
PX0 = diag([.1 .2 .2 .2 .2 .2]);
Qw = diag([.05^2 .05^2 (1e-10)^2 (1e-10)^2 (1e-10)^2 (1e-10)^2]);
Rv = diag([.1^2 .1^2 .1^2 .1^2]);

F = blkdiag([cos(w*deltaT) -sin(w*deltaT) ; sin(w*deltaT) cos(w*deltaT)], eye(2), eye(2));

H1=[-1 0 1 0 0 0; 0 -1 0 1 0 0];
H2=[-1 0 0 0 1 0 ; 0 -1 0 0 0 1];
H=[H1;H2]; Hfull=H;
X = nan*ones(6,N);
Z = nan*ones(4,N);
```

```

Source1Vue=zeros(1,N);
Source2Vue=zeros(1,N);

% Instant 0
W = chol(Qw)**randn(6,N);
V = chol(Rv)**randn(4,N);
X(:,1) = mX0+chol(PX0)**randn(6,1);
% X = randn(n) returns an n-by-n matrix of normally distributed random numbers.

% R = chol(A) produces an upper triangular matrix R from the diagonal
% and upper triangle of matrix A, satisfying the equation R'*R=A.
% The chol function assumes that A is (complex Hermitian) symmetric.
% If it is not, chol uses the (complex conjugate) transpose of the upper triangle as the lower
triangle.
% Matrix A must be positive definite.

% Instants 1:(N-1);
for k=2:N
    X(:,k) = F*X(:,k-1) + W(:,k-1);

    if ((X(3,k)-X(1,k))>0)&&((X(4,k)-X(2,k))>0)
        Source1Vue(k)=1;
    end
    if ((X(5,k)-X(1,k))>0)&&((X(6,k)-X(2,k))>0)
        Source2Vue(k)=1;
    end

    if (Source1Vue(k)==1)&&(Source2Vue(k)==1)
        Z(:,k) = H*X(:,k) + V(:,k);
    elseif (Source1Vue(k)==1)&&(Source2Vue(k)==0)
        Z(:,k) = [H1*X(:,k) + V(1:2,k);nan(2,1)];
    elseif (Source1Vue(k)==0)&&(Source2Vue(k)==1)
        Z(:,k) = [nan(2,1);H2*X(:,k) + V(3:4,k)];
    else
        Z(:,k)=[nan(4,1)];
    end

    Z;
    X;
end;

if plot_p==1

scrsz=get(0,'ScreenSize');
currentfigure=figure('Position',[1 1 scrsz(3) scrsz(4)]);
nfig=1;

```

```

set(nfig,'PaperPositionMode','auto');

for k=1:N
    h=subplot(1,2,2);
    set(h,'position',[0.53 0.05 .45 .92]);
    plot(X(1,k),X(2,k),'o','markeredgecolor','none','markerfacecolor','b');
    hold on
    grid on
    text(-4,-4,'VERITE TERRAIN (ESPACE D ETAT)')
    plot(X(1,max(k-15,1):k),X(2,max(k-15,1):k),'--b');
    visib_domain=[X(1,k) 5 5 X(1,k); X(2,k) X(2,k) 5 5];
    patch(visib_domain(1,:),visib_domain(2,:), 'g','edgecolor','none','facealpha',.2);
    text(X(3,k)+.3,X(4,k),'Amer 1')
    text(X(5,k)+.3,X(6,k),'Amer 2')
    text(2,4.5,'CHAMP DE PERCEPTION','color','g')
    if Source1Vue(k)==1
        color='g';
        plot([X(3,k) X(3,k)], [X(2,k) X(4,k)], '--g', 'linewidth', 2);
        text(X(3,k), X(2,k) -.2, sprintf('%s%s%s%s', '(u^1-u^R)_{', int2str(k), '}'));
        plot([X(3,k) X(1,k)], [X(4,k) X(4,k)], '--g', 'linewidth', 2);
        text(X(1,k) -.8, X(4,k), sprintf('%s%s%s%s', '(v^1-v^R)_{', int2str(k), '}'));
    else
        color='r';
    end
    plot(X(3,k), X(4,k), 's', 'markeredgecolor', 'k', 'markerfacecolor', color);
    if Source2Vue(k)==1
        color='g';
        plot([X(5,k) X(5,k)], [X(2,k) X(6,k)], '--g', 'linewidth', 2);
        text(X(5,k), X(2,k) -.2, sprintf('%s%s%s%s', '(u^2-u^R)_{', int2str(k), '}'));
        plot([X(5,k) X(1,k)], [X(6,k) X(6,k)], '--g', 'linewidth', 2);
        text(X(1,k) -.8, X(6,k), sprintf('%s%s%s%s', '(v^2-v^R)_{', int2str(k), '}'));
    else
        color='r';
    end
    plot(X(5,k), X(6,k), 's', 'markeredgecolor', 'k', 'markerfacecolor', color);
    axis equal
    xlim([-5 5]);
    ylim([-5 5]);
    hold off

    g=subplot(1,2,1);
    set(g,'position',[0.03 0.05 .45 .92]);
    plot(Z(1,k), Z(2,k), 'xk', 'markersize', 7)
    hold on
    grid on
    text(5,5,'ESPACE DE MESURE')

```

```

plot([0 0],[-.5 8],'k')
plot([- .5 8],[0 0],'k')
plot([0 Z(1,k)], [Z(2,k) Z(2,k)], '--k');
plot([Z(1,k) Z(1,k)], [0 Z(2,k)], '--k');
plot(Z(3,k), Z(4,k), 'xk', 'markersize', 7)
plot([0 Z(3,k)], [Z(4,k) Z(4,k)], '--k');
plot([Z(3,k) Z(3,k)], [0 Z(4,k)], '--k');
if Source1Vue(k)==1
text(Z(1,k), -.3, sprintf('%s%s%s%s', 'l^1_', '{', int2str(k), '}'));
text(-.5, Z(2,k), sprintf('%s%s%s%s', 'm^1_', '{', int2str(k), '}'));
end
if Source2Vue(k)==1
text(Z(3,k), -.3, sprintf('%s%s%s%s', 'l^2_', '{', int2str(k), '}'));
text(-.5, Z(4,k), sprintf('%s%s%s%s', 'm^2_', '{', int2str(k), '}'));
end
axis equal
xlim([- .5 8]);
ylim([- .5 8]);
hold off

drawnow;
pause(deltaT)
end

end

```

SIS.m

clear all; close all;

%on recupere les donnees

[N,T,Z,F,Hfull,mX0,PX0,Qw,Rv,X] = simulationDonnees(0);

% nombres de particules

nbParticules = 100;

% Initialisation des poids des particules

wPoids = ones(1, nbParticules) .* (1 / nbParticules);

% Generation des particules au premier instant

% R = chol(A) produces an upper triangular matrix R from the diagonal

% and upper triangle of matrix A, satisfying the equation $R^*R=A$.

% The chol function assumes that A is (complex Hermitian) symmetric.

% If it is not, chol uses the (complex conjugate) transpose of

% the upper triangle as the lower triangle. Matrix A must be positive definite.

% B = repmat(A,r1,...,rN) specifies a list of scalars, r1,...,rN, that describes

% how copies of A are arranged in each dimension.

% When A has N dimensions, the size of B is size(A).*[r1...rN].

% For example, repmat([1 2; 3 4],2,3) returns a 4-by-6 matrix.

Particules = chol(PX0)*randn(6, nbParticules) + repmat(mX0, 1, nbParticules)

ParticulesNew = zeros(6,nbParticules);

hold on;

% Pour chaque instant de l'echantillonnage

for k = 2:N

 % Pour chaque particule

 % Mise a jour des poids

 amers=1%

 if(isnan(Z(1,k)) && isnan(Z(3,k)))%on ne voit ni l'amer 1 ni la 2

 %si amers==0, pas de mise a jour des poids car pas de mesure

 amers=0

 elseif(isnan(Z(1,k)))%on ne voit pas l'amer 1

 H=Hfull(3:4, :);

 R=Rv(3:4, 3:4);

 ZCurrent=Z(3:4,k);

 elseif(isnan(Z(3,k)))%on ne voit pas l'amer 2

```

H=Hfull(1:2, :);
R=Rv(1:2, 1:2);
ZCurrent=Z(1:2,k);
else %on voit les deux amers
H=Hfull;
R=Rv;
ZCurrent=Z(:,k);
end
if(amers == 1)
for i=1:nbParticules
% Propagation de la particule xk-1 en xk
ParticulesNew(:,i) = chol(Qw)*randn(6, 1)+(F*Particules(:,i));
% Calcul du poids si au moins un amer est percu
wPoids(:,i) = wPoids(:,i) * (1/sqrt(det(2*pi*R))) * exp(-(1/2) *
(ZCurrent-H*ParticulesNew(:,i))' * inv(R) * (ZCurrent-H*ParticulesNew(:,i)));
end
else
for i=1:nbParticules
% Propagation de la particule xk-1 en xk
ParticulesNew(:,i) = chol(Qw)*randn(6, 1)+(F*Particules(:,i));
end
end

%Normalisation des poids
wPoids(:, :) = wPoids ./ sum(wPoids);

%Calcul de la moyenne a posteriori
esperance = zeros(6, 1);
for i = 1 : nbParticules
esperance = esperance + wPoids(i)*ParticulesNew(:,i);
end

%Calcul de la covariance a posteriori
covariance = zeros(6,6);
for i = 1 : nbParticules
covariance = covariance +
wPoids(i)*(ParticulesNew(:,i)-esperance)*(ParticulesNew(:,i)-esperance)';
end

%Affichage
axis([-7,7,-7,7]);

%Affichage des particules (points)
particulesPlots = [];
for j=1:nbParticules

```



```

    particulesPlots = [particulesPlots,
plot(ParticulesNew(1,j),ParticulesNew(2,j),'.r'),plot(ParticulesNew(3,j),ParticulesNew(4,j),'.g'),
plot(ParticulesNew(5,j),ParticulesNew(6,j),'.b')];
    end

    %Affichage des estimates des moyennes a posteriori (+ noirs)
    P1 = plot(esperance(1),esperance(2),'+k');
    P2 = plot(esperance(3),esperance(4),'+k');
    P3 = plot(esperance(5),esperance(6),'+k');

    %Affichage des des ellipses de confiances
    E1 = ellipse(esperance(1:2), covariance(1:2,1:2), 'r');
    E2 = ellipse(esperance(3:4), covariance(3:4,3:4), 'g');
    E3 = ellipse(esperance(5:6), covariance(5:6,5:6), 'b');

    %Affichage du vecteur d'etat reel (carres noirs)
    P1r = plot(X(1,k),X(2,k),'sk');%robot
    P2r = plot(X(3,k),X(4,k),'sk');%amer1
    P3r = plot(X(5,k),X(6,k),'sk');%amer2

    pause(0.2);

    if(k~=N)
    delete([E1, P1, E2, P2, E3, P3,P1r,P2r,P3r]);
    delete(particulesPlots);
    end
    k
    Particules=ParticulesNew;
end

```

SIR_v1.m

```
clear all; close all;

%on recupere les donnees
[N,T,Z,F,Hfull,mX0,PX0,Qw,Rv,X] = simulationDonnees(0);

% nombres de particules
nbParticules = 100;

seuil = nbParticules/3;
% Initialisation des poids des particules
wPoids = ones(1, nbParticules) .* (1 / nbParticules);

% Generation des particules au premier instant

% R = chol(A) produces an upper triangular matrix R from the diagonal
% and upper triangle of matrix A, satisfying the equation R'*R=A.
% The chol function assumes that A is (complex Hermitian) symmetric.
% If it is not, chol uses the (complex conjugate) transpose of
% the upper triangle as the lower triangle. Matrix A must be positive definite.

% B = repmat(A,r1,...,rN) specifies a list of scalars, r1,...,rN, that describes
% how copies of A are arranged in each dimension.
% When A has N dimensions, the size of B is size(A).*[r1...rN].
% For example, repmat([1 2; 3 4],2,3) returns a 4-by-6 matrix.

Particules = chol(PX0)*randn(6, nbParticules) + repmat(mX0, 1, nbParticules);
ParticulesNew = zeros(6,nbParticules);

hold on;

% Pour chaque instant de l'echantillonnage
for k = 2:N
    % Pour chaque particule
    % Mise a jour des poids
    amers=1;
    if(isnan(Z(1,k)) && isnan(Z(3,k)))%on ne voit ni l'amer 1 ni la 2
        %si amers==0, pas de mise a jour des poids car pas de mesure
        amers=0;
    elseif(isnan(Z(1,k)))%on ne voit pas l'amer 1
        H=Hfull(3:4, :);
        R=Rv(3:4, 3:4);
        ZCurrent=Z(3:4,k);
```

```

elseif(isnan(Z(3,k)))%on ne voit pas l'amer 2
H=Hfull(1:2, :);
R=Rv(1:2, 1:2);
ZCurrent=Z(1:2,k);
else %on voit les deux amers
H=Hfull;
R=Rv;
ZCurrent=Z(:,k);
end
if(amers == 1)
for i=1:nbParticules
% Propagation de la particule xk-1 en xk
ParticulesNew(:,i) = chol(Qw)*randn(6, 1)+(F*Particules(:,i));
% Calcul du poids si au moins un amer est percu
wPoids(:,i) = wPoids(:,i) * (1/sqrt(det(2*pi*R))) * exp(-(1/2) *
(ZCurrent-H*ParticulesNew(:,i))' * inv(R) * (ZCurrent-H*ParticulesNew(:,i)));
end
else
for i=1:nbParticules
% Propagation de la particule xk-1 en xk
ParticulesNew(:,i) = chol(Qw)*randn(6, 1)+(F*Particules(:,i));
end
end

%Normalisation des poids
wPoids(:, :) = wPoids ./ sum(wPoids);

%Calcul de la moyenne a posteriori
esperance = zeros(6, 1);
for i = 1 : nbParticules
esperance = esperance + wPoids(i)*ParticulesNew(:,i);
end

%Calcul de la covariance a posteriori
covariance = zeros(6,6);
for i = 1 : nbParticules
covariance = covariance +
wPoids(i)*(ParticulesNew(:,i)-esperance)*(ParticulesNew(:,i)-esperance)';
end

%Reechantillonnage pour eviter la degenerescence
Neff = 1/sum(wPoids.^2);
if Neff<seuil
'Resample'
[ParticulesNew,wPoids] = Resample(nbParticules, ParticulesNew, wPoids);
end

```

```

%Affichage
axis([-7,7,-7,7]);

%Affichage des particules (points)
particulesPlots = [];
for j=1:nbParticules
    particulesPlots = [particulesPlots,
plot(ParticulesNew(1,j),ParticulesNew(2,j),'.r'),plot(ParticulesNew(3,j),ParticulesNew(4,j),'.g'),
plot(ParticulesNew(5,j),ParticulesNew(6,j),'.b')];
end

%Affichage des estimates des moyennes a posteriori (+ noirs)
P1 = plot(esperance(1),esperance(2),'+k');
P2 = plot(esperance(3),esperance(4),'+k');
P3 = plot(esperance(5),esperance(6),'+k');

%Affichage des des ellipses de confiances
E1 = ellipse(esperance(1:2), covariance(1:2,1:2), 'r');
E2 = ellipse(esperance(3:4), covariance(3:4,3:4), 'g');
E3 = ellipse(esperance(5:6), covariance(5:6,5:6), 'b');

%Affichage du vecteur d'etat reel (carres noirs)
P1r = plot(X(1,k),X(2,k),'sk');%robot
P2r = plot(X(3,k),X(4,k),'sk');%amer1
P3r = plot(X(5,k),X(6,k),'sk');%amer2

pause(0.2);

if(k~=N)
    delete([E1, P1, E2, P2, E3, P3,P1r,P2r,P3r]);
    delete(particulesPlots);
end
k
Particules=ParticulesNew;
end

```